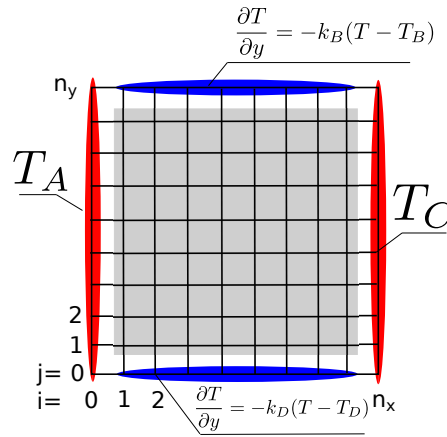


Projekt 9: Dyfuzja ciepła - metoda Cranck-Nicloson.

Tomasz Chwiej

10 stycznia 2019

1 Wstęp



Rysunek 1: Siatka węzłów użyta w obliczeniach z zaznaczonymi warunkami brzegowymi: Dirichleta (czerwony) i von Neumanna (niebieski).

Na zajęciach znajdziemy rozwiązanie zależnego od czasu równania dyfuzji ($T = T(x, y, t)$)

$$\nabla^2 T = \frac{\partial T}{\partial t} \quad (1)$$

Równanie to zdyskretyzujemy na siatce, zapiszemy w postaci macierzowej i znajdziemy jego rozwiązanie w kolejnych chwilach czasowych przy użyciu metody Cranck-Nicolson (do rozwiązania układu równań liniowych w tej metodzie wykorzystamy rozkład LU). Geometria układu wraz z siatką węzłów, w których wyznaczona zostanie temperatura pokazane jest na rys. 1.

1.1 Dyskretyzacja równania + metoda CN

Najpierw definiujemy siatkę węzłów, dla położenia (x,y) i czasu (t)

$$\Delta x = \Delta y = \Delta \quad (2)$$

$$x_i = i \cdot \Delta, \quad i = 0, 1, 2, \dots, n_x \quad (3)$$

$$y_j = j \cdot \Delta, \quad j = 0, 1, 2, \dots, n_y \quad (4)$$

$$t_n = n \cdot \Delta t, \quad n = 0, 1, 2, \dots \quad (5)$$

$$T(x, y, t) \rightarrow T(x_i, y_j, t_n) \rightarrow T_{i,j}^n \quad (6)$$

(dolny indeks - położenie, górny - czas).

Zapisujemy równanie (1) korzystając ze schematu C-N

$$\frac{1}{2} (\nabla^2 T^n + \nabla^2 T^{n+1}) = \frac{T^{n+1} - T^n}{\Delta t} \quad (7)$$

zastępujemy pochodne ilorazami różnicowymi $[d^2f/dx^2 = (f_{i+1} - 2f_i + f_{i-1})/\Delta^2]$ i grupujemy wyrazy względem chwil czasowych

$$\begin{aligned} & \frac{\Delta t}{2\Delta^2} \left(T_{i+1,j}^{n+1} + T_{i-1,j}^{n+1} - 4T_{i,j}^{n+1} + T_{i,j+1}^{n+1} + T_{i,j-1}^{n+1} \right) - T_{i,j}^{n+1} \\ = & -\frac{\Delta t}{2\Delta^2} \left(T_{i+1,j}^n + T_{i-1,j}^n - 4T_{i,j}^n + T_{i,j+1}^n + T_{i,j-1}^n \right) - T_{i,j}^n \end{aligned} \quad (8)$$

Dokonyjemy teraz reindexacji węzłów (parę wskaźników (i, j) zastępujemy jednym l)

$$l = i + j \cdot (n_x + 1), \quad l = 0, 1, 2, \dots, N \quad (9)$$

$$N = (n_x + 1) \cdot (n_y + 1) \quad (10)$$

$$j = \text{floor} \left(\frac{l}{n_x + 1} \right) \quad (11)$$

$$i = l - j \cdot (n_x + 1) \quad (12)$$

Równanie 8 możemy zapisać w postaci macierzowej

$$A \cdot \vec{T}^{n+1} = B \cdot \vec{T}^n + \vec{c} \quad (13)$$

[uwaga: pojawienie się wektora \vec{c} nie wynika bezpośrednio z równania (8), ale dodaliśmy je aby zapewnić spełnienie warunków brzegowych von Neumanna, dla WB Dirichleta przyjmujemy $\vec{c} = 0$. (górze/dół na rysunku 1)],

oraz z uwzględnieniem tylko niezerowych elementów macierzowych

$$\begin{aligned} & a_{l,l-n_x-1}T_{l-n_x-1}^{n+1} + a_{l,l-1}T_{l-1}^{n+1} + a_{l,l}T_l^{n+1} + a_{l,l+1}T_{l+1}^{n+1} + a_{l,l+n_x+1}T_{l+n_x+1}^{n+1} \\ = & b_{l,l-n_x-1}T_{l-n_x-1}^n + b_{l,l-1}T_{l-1}^n + b_{l,l}T_l^n + b_{l,l+1}T_{l+1}^n + b_{l,l+n_x+1}T_{l+n_x+1}^n + c_l \end{aligned} \quad (14)$$

1.1.1 Niezerowe elementy macierzowe z uwzględnieniem WB

- Wnętrze obszaru (szary obszar na rysunku)

$$i = 1, 2, \dots, n_x - 1 \quad (15)$$

$$j = 1, 2, \dots, n_y - 1 \quad (16)$$

$$a_{l,l-n_x-1} = a_{l,l-1} = a_{l,l+1} = a_{l,l+n_x+1} = \frac{\Delta t}{2\Delta^2} \quad (17)$$

$$a_{l,l} = -\frac{2\Delta t}{\Delta^2} - 1 \quad (18)$$

$$b_{l,l-n_x-1} = b_{l,l-1} = b_{l,l+1} = b_{l,l+n_x+1} = -\frac{\Delta t}{2\Delta^2} \quad (19)$$

$$b_{l,l} = \frac{2\Delta t}{\Delta^2} - 1 \quad (20)$$

- WB Dirichleta (lewy i prawy brzeg)

$$i = 0, n_x \quad (21)$$

$$j = 0, 1, 2, \dots, n_y \quad (22)$$

$$a_{l,l} = 1 \quad (23)$$

$$b_{l,l} = 1 \quad (24)$$

$$c_l = 0 \quad (25)$$

- WB von Neumanna na górnym brzegu dla chwili $n + 1$

$$\frac{\partial T^{n+1}}{\partial y} = -k_B(T^{n+1} - T_B) \quad (26)$$

po zastąpieniu pochodnych ilorazami jest następujący

$$\frac{T_{i,n_y}^{n+1} - T_{i,n_y-1}^{n+1}}{\Delta} = -k_B(T_{i,n_y}^{n+1} - T_B) \quad (27)$$

a po reindeksacji węzłów i po pogrupowaniu wyrazów

$$a_{l,l-n_x-1}T_{l-n_x-1}^{n+1} + a_{l,l}T_l^{n+1} = c_l \quad (28)$$

$$(29)$$

gdzie

$$i = 1, 2, \dots, n_x - 1 \quad (30)$$

$$j = n_y \quad (31)$$

$$a_{l,l-n_x-1} = -\frac{1}{k_B\Delta} \quad (32)$$

$$a_{l,l} = 1 + \frac{1}{k_B\Delta} \quad (33)$$

$$c_l = T_B \quad (\text{wektor } c) \quad (34)$$

$$b_{l,*} = 0, \quad (\text{cały wiersz}) \quad (35)$$

- WB von Neumanna na dolnym brzegu dla chwili $n + 1$

$$\frac{\partial T^{n+1}}{\partial y} = -k_D(T^{n+1} - T_D) \quad (36)$$

po zastąpieniu pochodnych ilorazami jest następujący

$$\frac{T_{i,0}^{n+1} - T_{i,1}^{n+1}}{\Delta} = -k_D(T_{i,0}^{n+1} - T_B) \quad (37)$$

a po reindeksacji węzłów i po pogrupowaniu wyrazów

$$a_{l,l}T_l^{n+1} + a_{l,l+n_x+1}T_{l+n_x+1}^{n+1} = c_l \quad (38)$$

$$(39)$$

gdzie

$$i = 1, 2, \dots, n_x - 1 \quad (40)$$

$$j = 0 \quad (41)$$

$$a_{l,l} = 1 + \frac{1}{k_D\Delta} \quad (42)$$

$$a_{l,l+n_x+1} = -\frac{1}{k_D\Delta} \quad (43)$$

$$c_l = T_D \quad (\text{wektor } c) \quad (44)$$

$$b_{l,*} = 0, \quad (\text{cały wiersz}) \quad (45)$$

1.1.2 Warunki Początkowe

WP narzucamy na wektor startowy \vec{T}^0

$$T_l^0 = T_A, \quad i = 0, j = 0, 1, 2, \dots, n_y, \quad (\text{lewy brzeg}) \quad (46)$$

$$T_l^0 = T_C, \quad i = n_x, j = 0, 1, 2, \dots, n_y, \quad (\text{prawy brzeg}) \quad (47)$$

$$T_l^0 = 0, \quad \text{w pozostałym obszarze} \quad (48)$$

2 Algorytm CN

Algorytm CN dla równania dyfuzji w wersji macierzowej

```
inicjalizacja: A, B,  $\vec{c}$ ,  $\vec{T} = \vec{T}^0$ 
oblicz rozkład LU: A
FOR it=0 TO IT_MAX STEP 1 DO
     $\vec{d} = B \cdot \vec{T} + \vec{c}$  //  $T = T^n$ 
    rozwiąż ukł. równ (LU):  $A \cdot \vec{T} = \vec{d}$  //  $T = T^{n+1}$ 
END DO
```

3 Zadania do wykonania

W obliczeniach do znalezienia rozkładu LU, rozwiązywania układu równań liniowych, mnożenia macierz-vektor czy dodawania wektorów należy użyć biblioteki numerycznej np. **GSL** (lub innej dostępnej na Taurusie).

1. W obliczeniach należy użyć wartości parametrów: $n_x = 40$, $n_y = 40$, $N = (n_x + 1) \cdot (n_y + 1)$, $\Delta = 1$, $\Delta t = 1$, $T_A = 40$, $T_B = 0$, $T_C = 30$, $T_D = 0$, $k_B = 0.1$, $k_D = 0.6$, $IT_MAX = 2000$.
2. Utworzyć macierze $A[N][N]$, $B[N][N]$ oraz wektor $c[N]$ i wypełnić je zgodnie z wzorami zamieszczonymi w sekcji 1.1.1
3. Utworzyć wektor startowy $T[N]$ i narzucić warunki początkowe (sekcja 1.1.2)
4. Znaleźć rozkład LU macierzy A (GSL)
5. Zaimplementować algorytm CN (sekcja 2)
6. Wykonać IT_MAX kroków.
7. Dla $it = 100, 200, 500, 1000, 2000$ sporządzić mapy rozkładu temperatury w pomieszczeniu $T(x, y)$ (50 pkt.)
8. W stanie ustalonym równanie dyfuzji redukuje się do $\nabla^2 T = 0$ (brak zmian w czasie - znika pochodna czasowa). Dla $it = 100, 200, 500, 1000, 2000$ proszę sporządzić mapy rozkładu $\nabla^2 T(x, y)$ i sprawdzić czy tak jest. (50 pkt.)

4 Przydatne procedury z biblioteki GSL

- rozkład LU

```
int gsl_linalg_LU_decomp(gsl_matrix * A, gsl_permutation * p, int * signum)
```

Po wywołaniu procedury znaleziony rozkład LU jest wpisany do macierzy A

- rozwiązywanie układu równań z użyciem LU

```
int gsl_linalg_LU_solve(const gsl_matrix * LU, const gsl_permutation * p,
                       const gsl_vector * b, gsl_vector * x)
```

- mnożenie macierz-vektor (BLAS 2)

$$y = \alpha op(A) \cdot \vec{x} + \beta \vec{y}$$

$$op(A) = A, A^T, A^H$$

```
int gsl_blas_dgemv(CBLAS_TRANSPOSE_t TransA, double alpha,
                  const gsl_matrix * A, const gsl_vector * x,
                  double beta, gsl_vector * y)
```

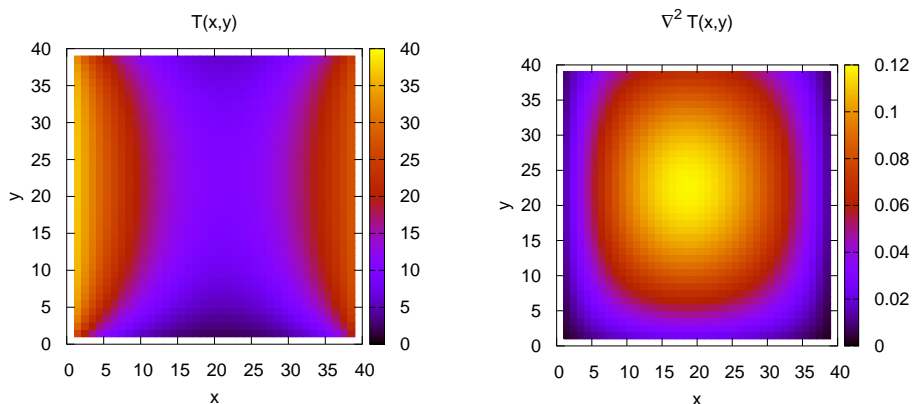
```
(TransA = CblasNoTrans, CblasTrans, CblasConjTrans)
```

- dodawanie dwóch wektorów (BLAS 1)

$$\vec{y} = \alpha \vec{x} + \vec{y}$$

```
int gsl_blas_daxpy(double alpha, const gsl_vector * x, gsl_vector * y)
```

5 Przykładowe wyniki



Rysunek 2: Wyniki dla $it = 100$